

LANCÉ

Servicio Clima Espacial

Reporte Semanal



Reporte semanal: del 8 al 14 de marzo de 2019

CONDICIONES DEL SOL

Regiones activas: Total (1); 12734

Hoyos coronales:

Se presentaron hoyos coronales en el polo norte y sur, además de otro de mayor extensión distribuido a lo largo del disco solar.

Fulguraciones solares: Clase A (no significativas)

Eyecciones de masa coronal: Se observó una eyección en dirección Sol-Tierra la cual se generó en la región activa 12734. Además se observaron otras dos eyecciones lentas y colimadas sin efectos relevantes en el entorno geomagnético.

CONDICIONES DEL MEDIO INTERPLANETARIO

No se registró ninguna región de compresión, sin embargo se observó un hoyo coronal ecuatorial de polaridad negativa.

CONDICIONES DE MAGNETÓSFERA

Índice K local: no se registraron perturbaciones importantes.

Índice Dst: no se registraron perturbaciones significativas.

CONDICIONES DE LA IONOSFERA

Se observaron perturbaciones ionosféricas negativas en las horas nocturnas del 11 y 13-14 de marzo.

Reporte semanal: del 8 al 14 de marzo de 2019

PRONÓSTICOS

Viento solar:

- Se espera viento solar con velocidades que oscilan entre los 400 y 500 km/s. La densidad del plasma se mantendrá sin cambios significativos.

Fulguraciones solares:

- No se esperan fulguraciones.

Tormentas ionosféricas:

- No se esperan tormentas geomagnéticas intensas para la próxima semana.

Tormentas geomagnéticas:

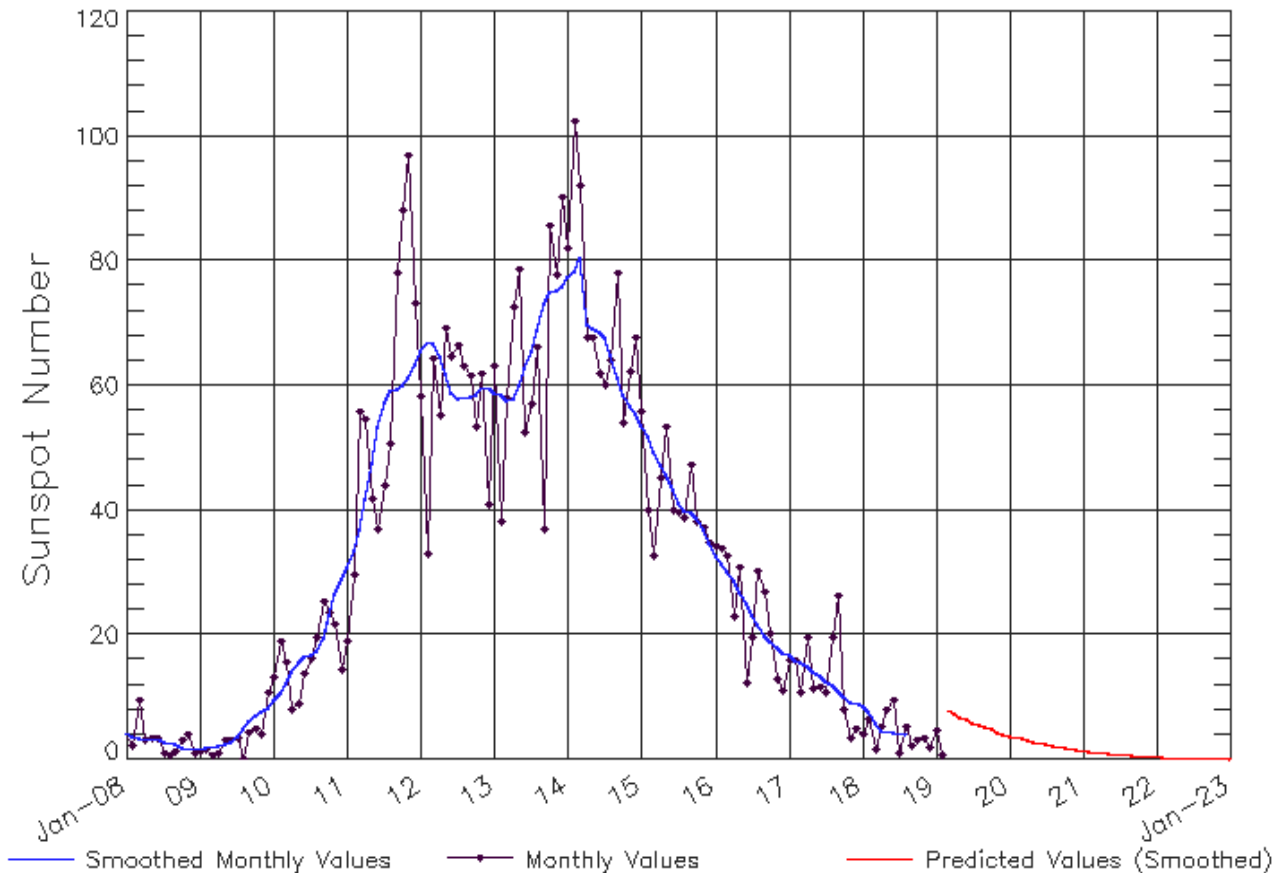
- Baja probabilidad de tormentas geomagnéticas.

Tormentas de radiación solar:

- Baja probabilidad de tormentas de radiación solar para la próxima semana.

Ciclo de manchas solares y la actividad solar

ISES Solar Cycle Sunspot Number Progression
Observed data through Feb 2019



Updated 2019 Mar 4

NOAA/SWPC Boulder, CO USA

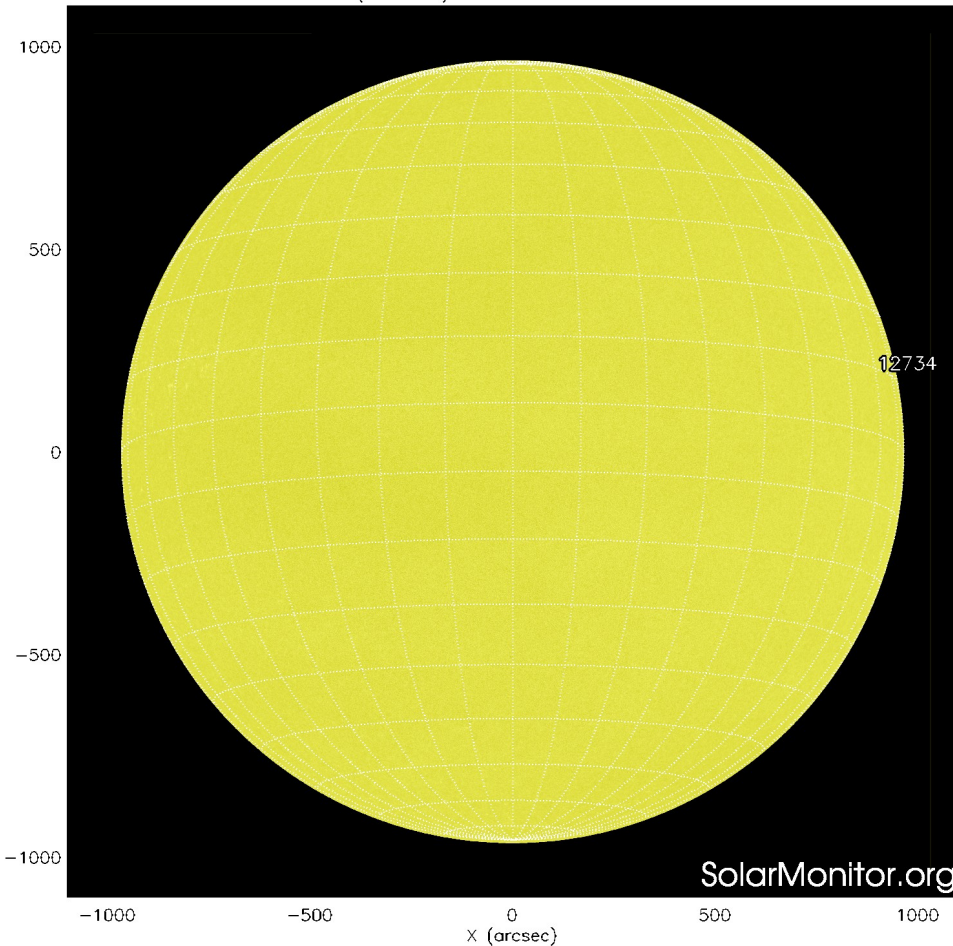
<http://www.swpc.noaa.gov/products/solar-cycle-progression>

La figura muestra el conteo del número de manchas solares desde enero del 2000.

Entre más manchas solares presente el Sol, es mayor la posibilidad de que ocurra una tormenta solar.

Estamos acercándonos al mínimo de manchas solares del ciclo 24.

SDO HMI (6173 Å) 14-Mar-2019 19:46:35.000



La fotosfera es la zona “superficial” del Sol, donde aparecen las manchas solares. Regiones oscuras formadas por material más frío que sus alrededores y que contienen intensos campos magnéticos. Las manchas solares están relacionadas con la actividad solar.

El Sol hoy:

La imagen más reciente de la fotosfera, tomada por el satélite artificial SDO. No muestra ningún grupo de manchas solares.

Imagen: <http://www.solarmonitor.org/>

SDO HMI Magnetogram 14-Mar-2019 19:46:35.000

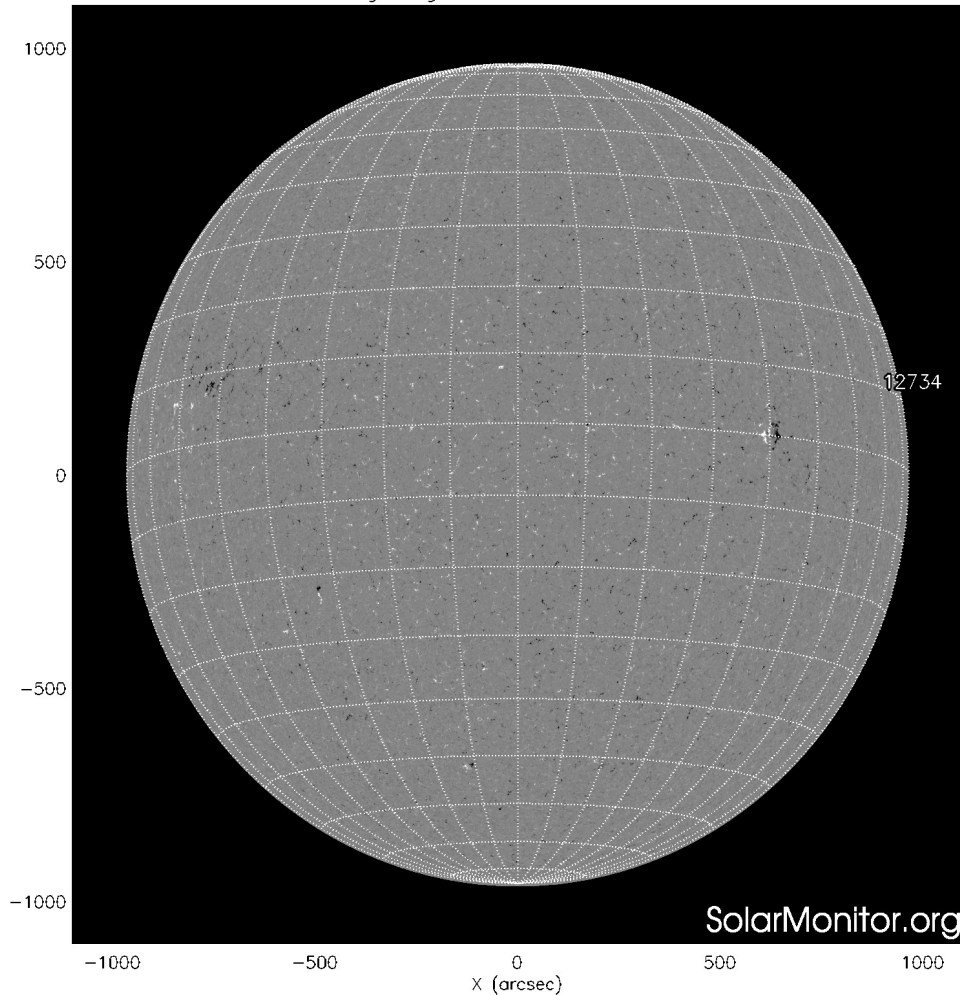


Imagen: <http://www.solarmonitor.org/>

Un magnetograma solar permite identificar las regiones de intensos campos magnéticos solares. En general, estos campos magnéticos están asociados a manchas solares.

Las regiones de color blanco/negro son zonas por donde salen/entran líneas de campo magnético.

El Sol hoy:

El magnetograma más reciente tomado por el satélite artificial SOHO muestra una región magnética poco estructurada al oeste del disco solar.

Atmósfera solar y regiones activas

SDO AIA Fe IX/X (171 Å) 14-Mar-2019 20:24:45.350

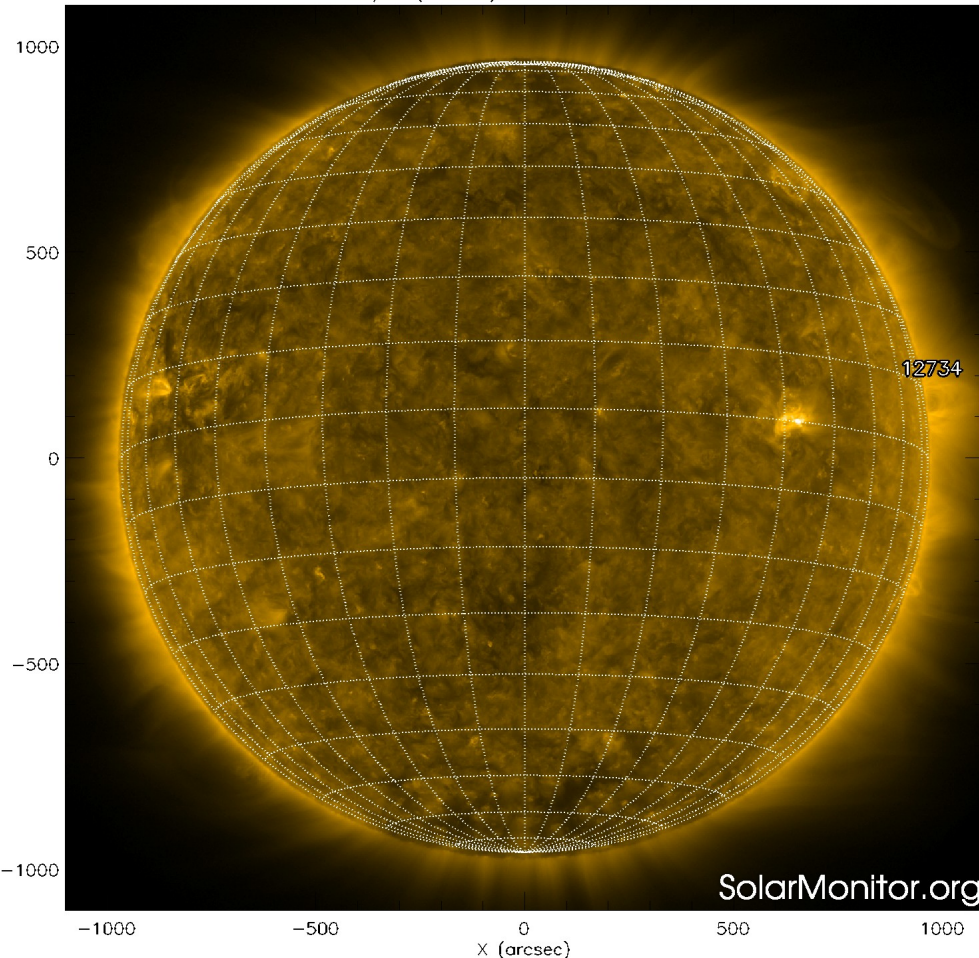


Imagen: <http://www.solarmonitor.org/>

El Sol en rayos X suaves (171 Å). La emisión de Fe IX y X revela la estructura magnética en la región de la atmósfera solar llamada corona solar que se encuentra a 6.3×10^5 K.

Las regiones activas (zonas claras) son los lugares donde se presentan los fenómenos de actividad solar más importantes. Las regiones activas están regularmente asociadas a las manchas solares.

El Sol hoy:

Imagen más reciente, tomada por el satélite artificial SDO, muestra una región activa al oeste del disco solar.

SDO AIA Fe XII (211 Å) 14-Mar-2019 20:24:57.630

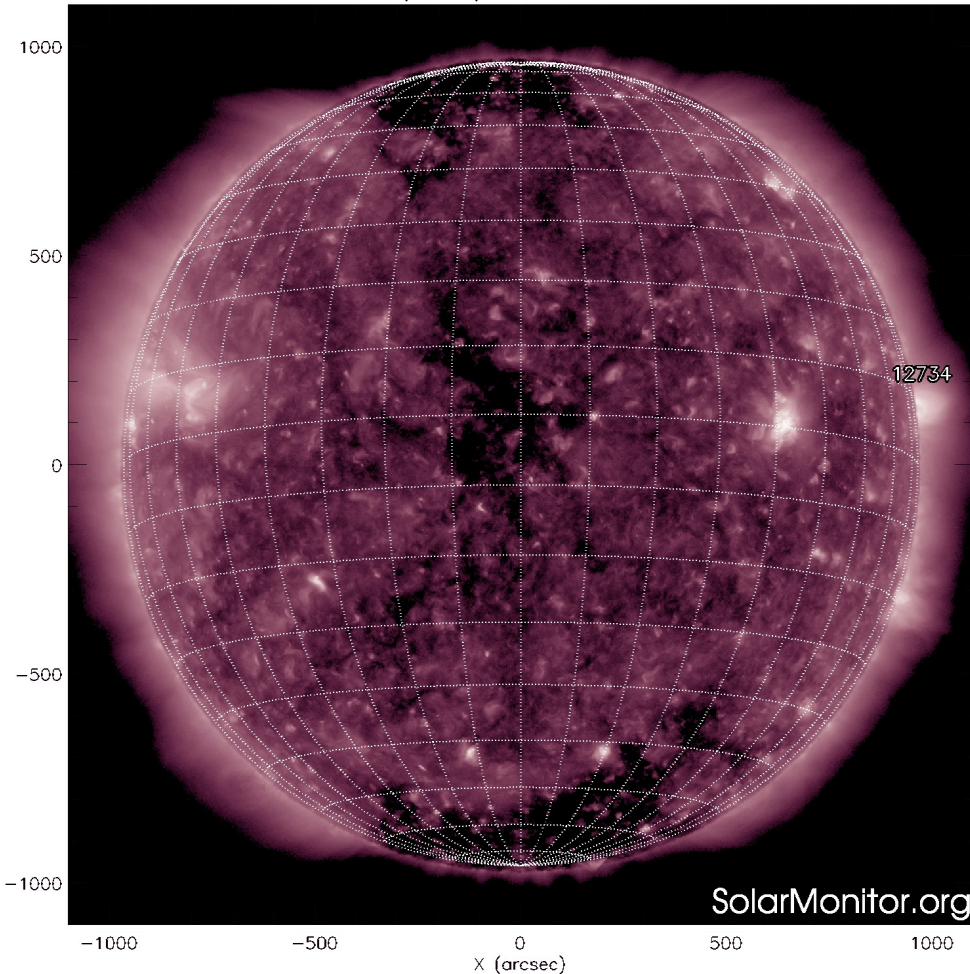


Imagen: <http://www.solarmonitor.org/>

El Sol en rayos X suaves (211 Å). La emisión de Fe XIV revela la estructura magnética en la alta corona que se encuentra a 2×10^6 K.

Los hoyos coronales (regiones oscuras) son regiones de campo magnético solar localmente abierto. Los hoyos coronales son fuente de las corrientes de viento solar rápido.

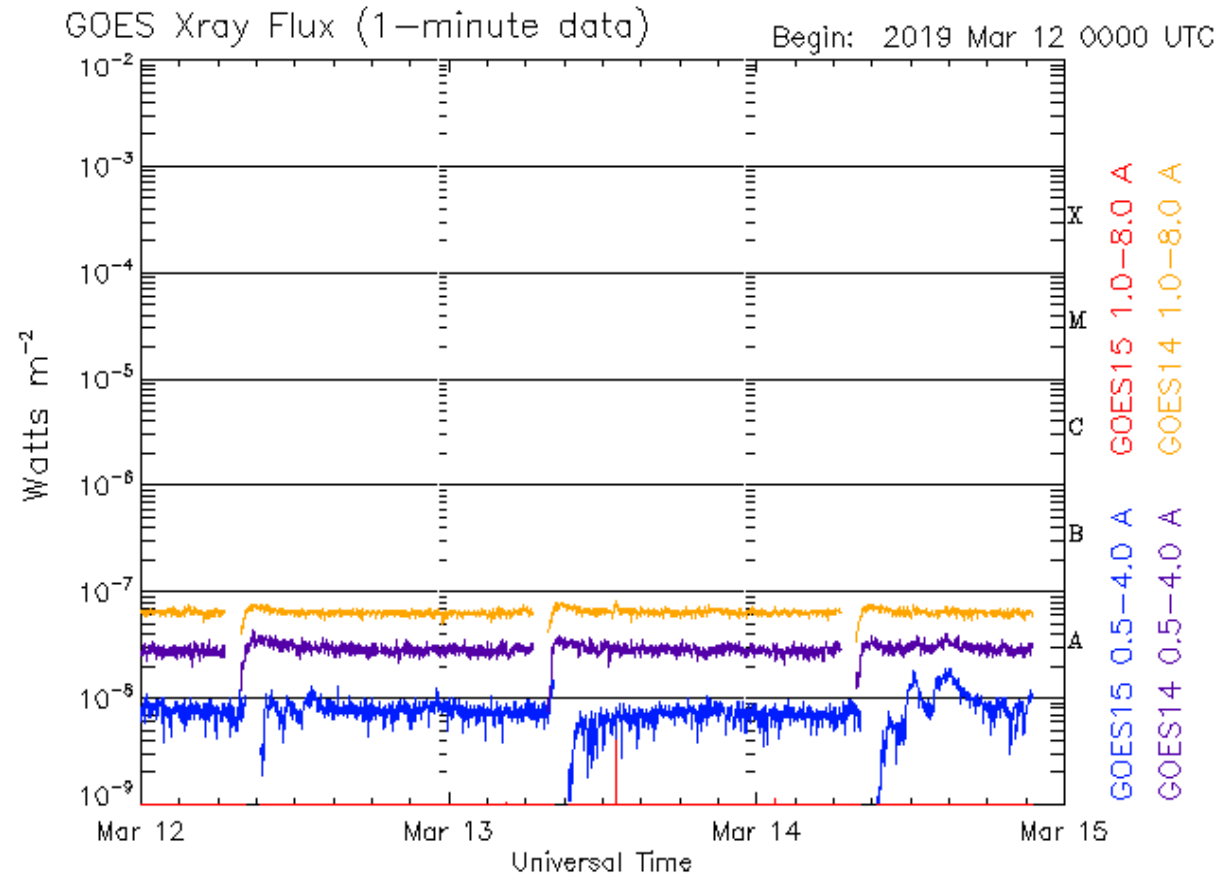
El Sol hoy:

Imagen más reciente, tomada por el satélite artificial SDO, muestra hoyos de extensión mayor en los polos y otro de extensión considerable sobre la región del disco solar.

Actividad solar: Fulguraciones solares

Flujo de rayos X solares detectado por los satélites GOES.

A lo largo de la semana no se presentó actividad solar importante.



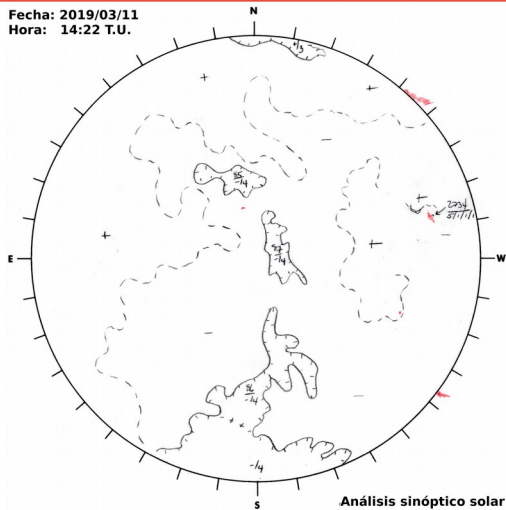
Updated 2019 Mar 14 21:32:12 UTC

NOAA/SWPC Boulder, CO USA

Imagen: <http://services.swpc.noaa.gov/images/goes-xray-flux.gif>

Medio interplanetario: Región de interacción de viento solar

Fecha: 2019/03/11
Hora: 14:22 T.U.



Esta semana no se registró región de compresión (imagen 3), sin embargo se observó un hoyo coronal ecuatorial de polaridad negativa (imagen 1) el cual se espera arribe al entorno geomagnético en las próximas horas. En la imagen 2 observamos la descendencia de la hoja de corriente hacia el ecuador solar (región sombreada en amarillo).

Imagen 1: ftp://ftp.swpc.noaa.gov/pub/synoptic_maps/

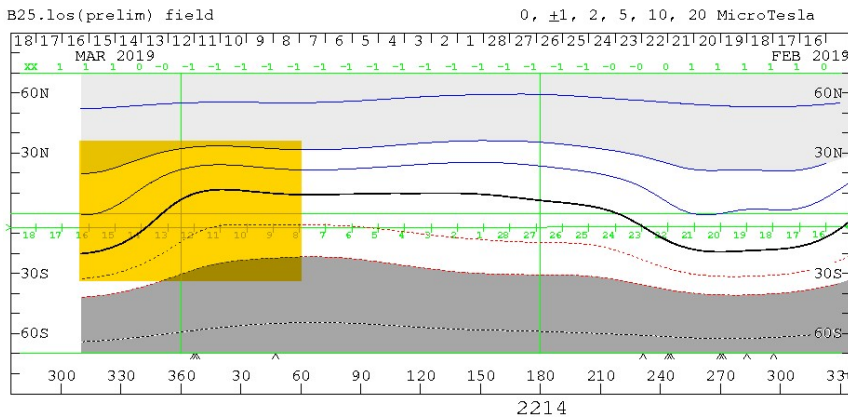


Imagen 2: <http://wso.stanford.edu/SYNOP/>

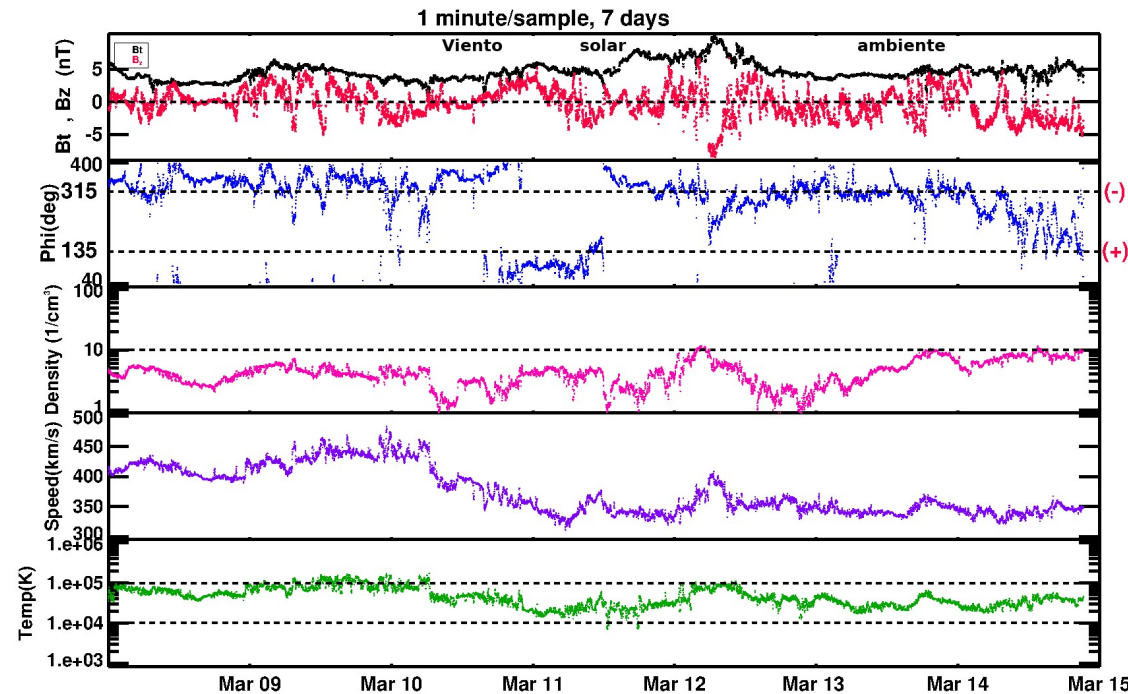


Imagen 3: <http://www.swpc.noaa.gov/products/real-time-solar-wind>

Eyecciones de Masa Coronal (EMCs): **LANC**

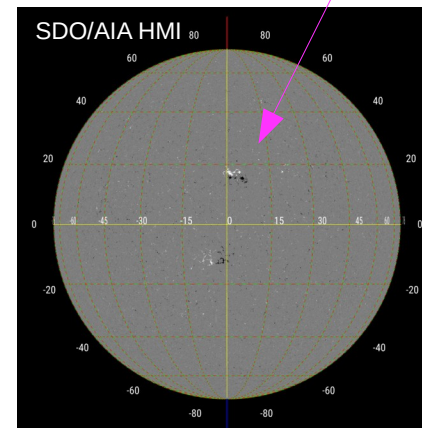
observación de coronógrafos

Servicio Clima Espacial

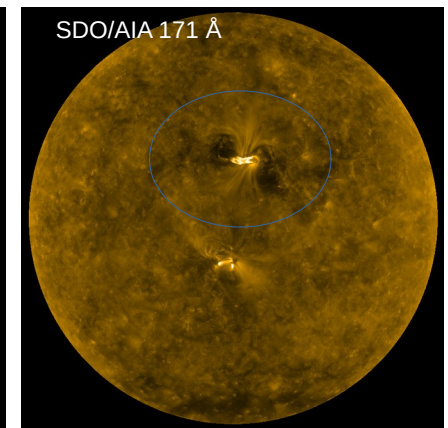
>> **Marzo 12, 9:24 h**

- EMC observada por SOHO/LASCO C2 y C3.
- La eyección se extiende simultáneamente en los limbos este y oeste del disco solar, posible halo parcial.
- Fuente en la Región Activa NOAA 12734, cerca del centro del disco solar (N09O10), donde se observa una fulguración a las 3:07 UT del mismo día.
- La EMC se propaga principalmente en la dirección Sol-Tierra.

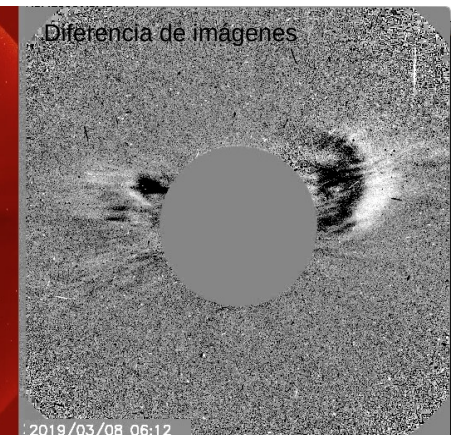
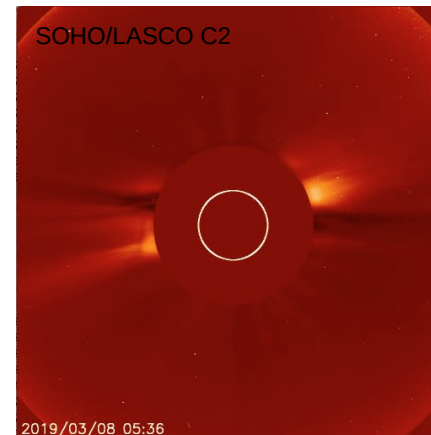
Región Activa NOAA 12734



Firmas post-eruptivas en la RA



Eyección de Masa Coronal



Velocidad máxima*	381 km/s
Posición angular*	293°
Ancho angular*	>50°

(*)Valores estimados sobre la proyección en el plano del cielo y no en la dirección Sol-Tierra

Crédito imágenes y valores estimados:

SOHO, the Solar & Heliospheric Observatory

SDO, Solar Dynamic Observatory

CACTus CME catalog. SIDC at the Royal Observatory of Belgium

Jheliovviewer, ESA/NASA Helioviewer Project .

Eyecciones de Masa Coronal (EMCs): **LANC**

observación de coronógrafos

Servicio Clima Espacial

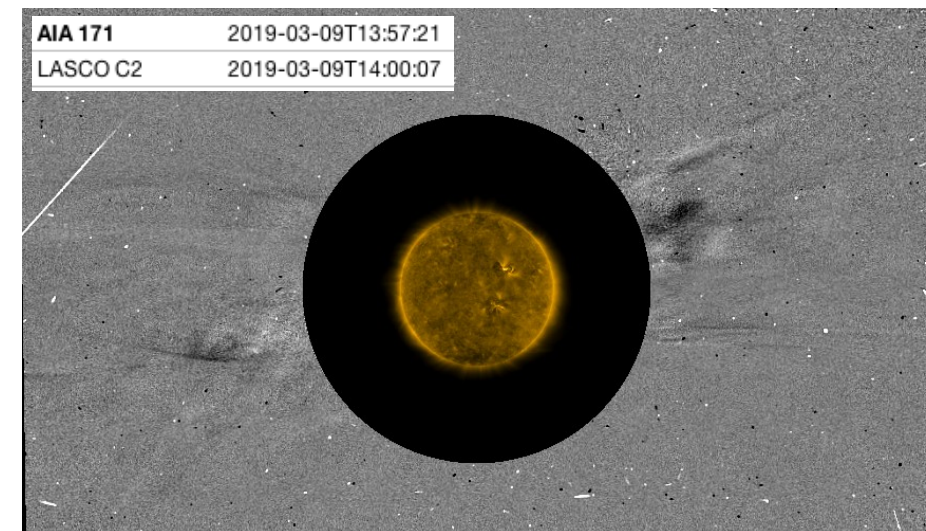
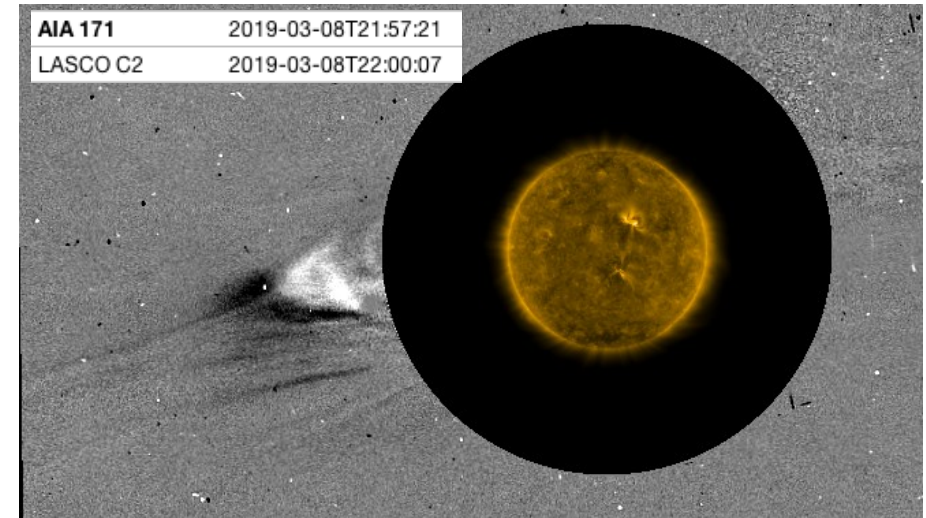
>> **Marzo 8, 19:48 h**

>> **Marzo 9, 13:36 h**

- EMC observadas por SOHO/LASCO C2 y C3.
- Ambas son eyecciones lentas y colimadas.
- Por su baja velocidad, no se espera que tengan efectos relevantes en el entorno geomagnético.

	Mar 8	Mar 9
Velocidad máxima* (km/s)	233	262
Posición angular*	102°	283°
Ancho angular*	26°	16°

(*)Valores estimados sobre la proyección en el plano del cielo y no en la dirección Sol-Tierra



Crédito imágenes y valores estimados:

SOHO, the Solar & Heliospheric Observatory

SDO, Solar Dynamic Observatory

CACTus CME catalog. SIDC at the Royal Observatory of Belgium

Jhelioviewer, ESA/NASA Helioviewer Project .

Medio interplanetario: El viento solar cercano a la Tierra

Modelo numérico WSA-ENLIL.

El modelo pronostica un ambiente solar terrestre dominado por corrientes con velocidades que oscilan entre 400 y 500 km/s. La densidad del plasma se mantendrá sin incrementos significativos. No pronostica la llegada de alguna EMC para los próximos días.

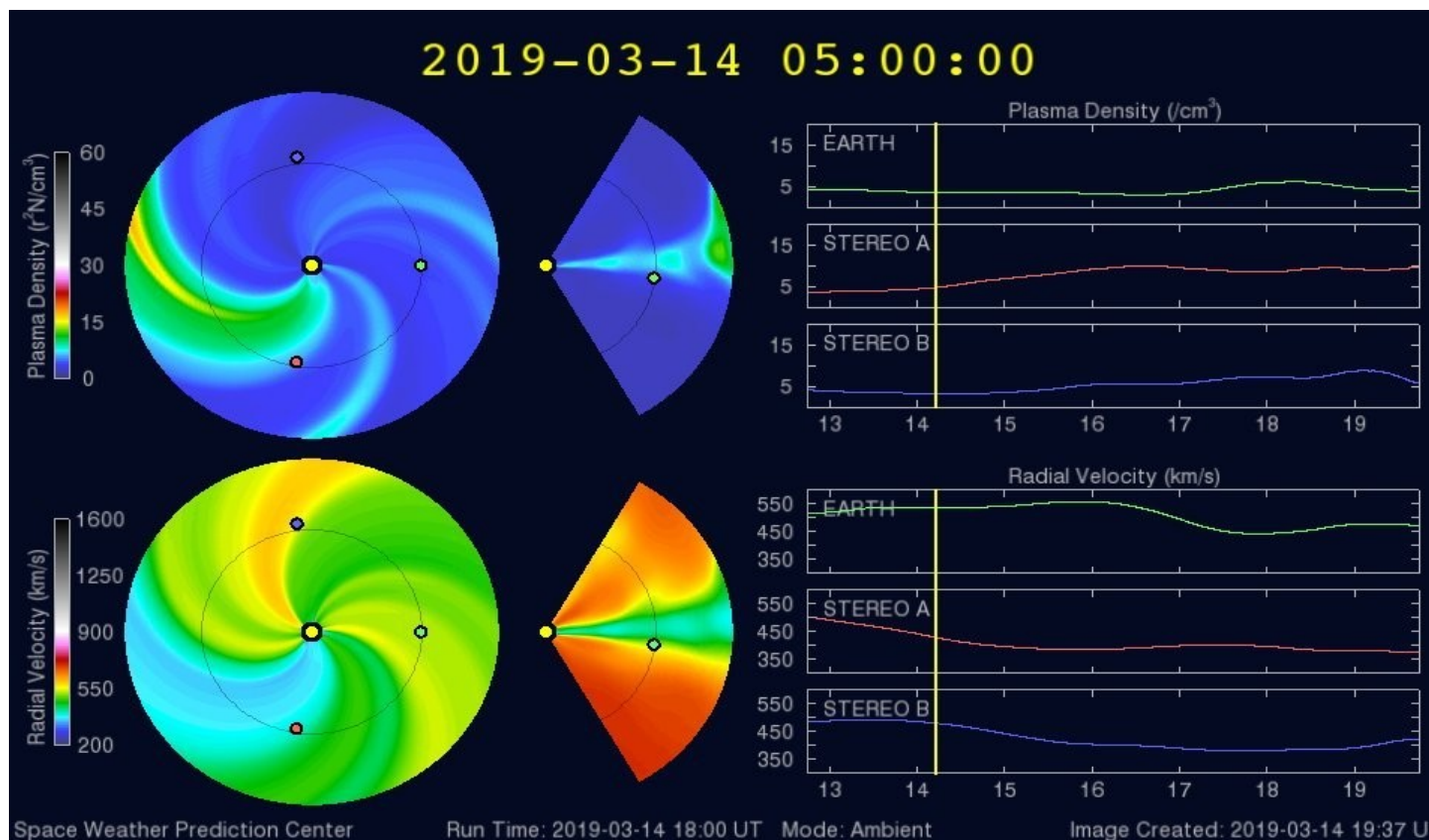
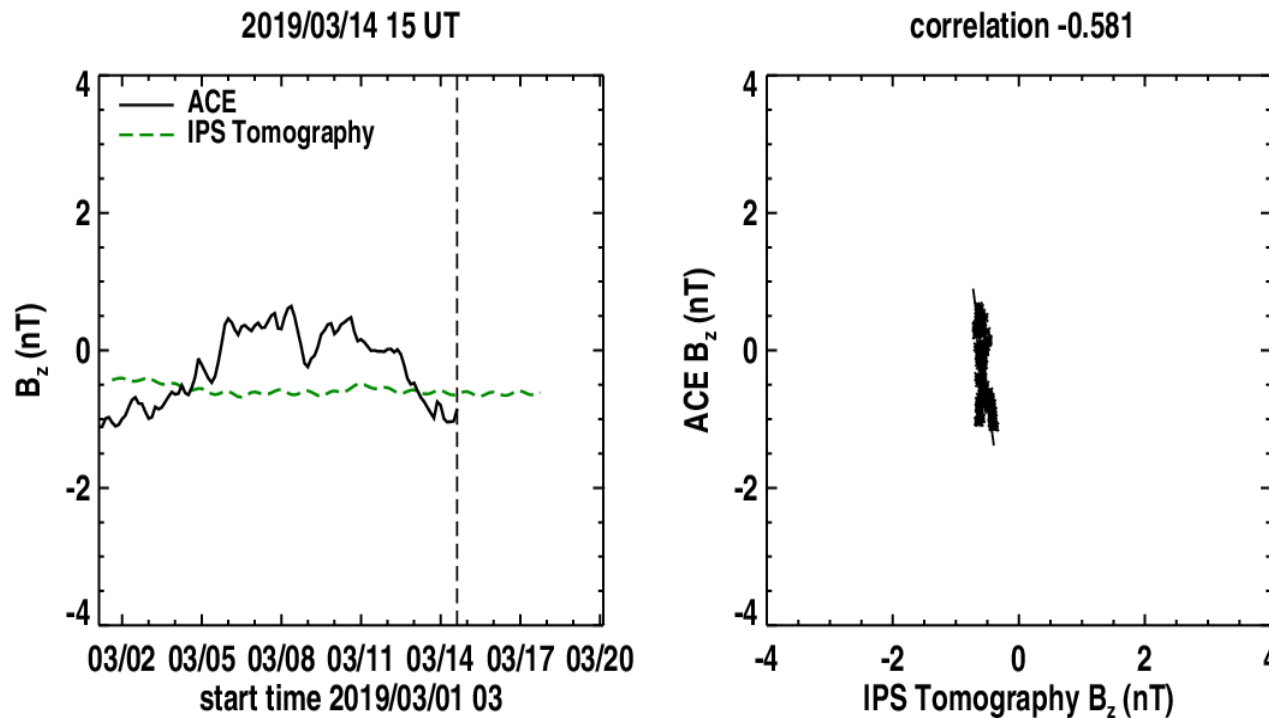


Imagen: <http://www.swpc.noaa.gov/products/wsa-enlil-solar-wind-prediction>

Medio interplanetario: Pronóstico de Bz en L1

Pronóstico de la componente Bz del viento solar cercano a la Tierra usando la tomografía con datos IPS.



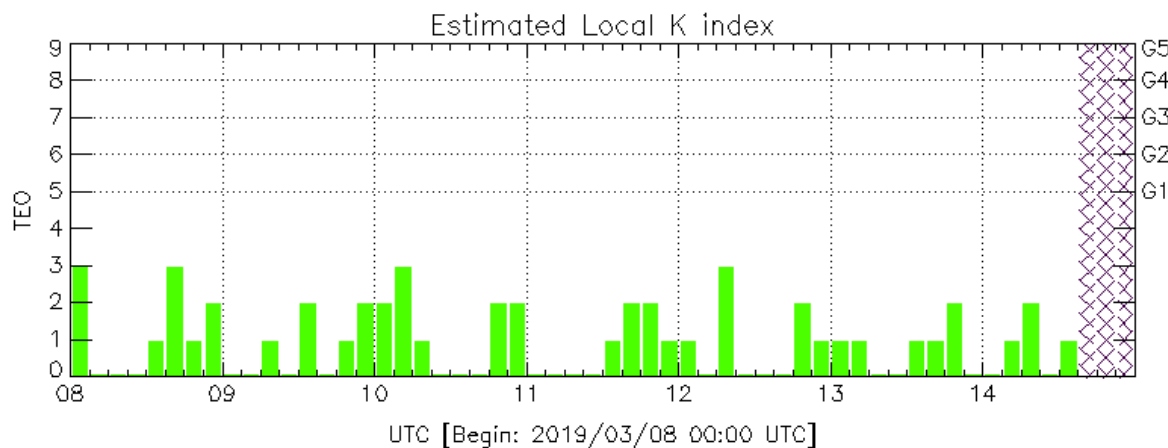
(Izquierda) Se pronostica una componente B_z negativa. **(Derecha)** La comparación con las observaciones del Advanced Composition Explorer (ACE) no indican una correlación en el último pronóstico.

Imagen: http://ips.ucsd.edu/high_resolution_predictions

Perturbaciones geomagnéticas: Índices geomagnéticos Kp y Kmex

Imagen: <http://services.swpc.noaa.gov/images/planetary-k-index.gif>

En términos generales, fue una semana tranquila. No se detectaron perturbaciones significativas en el campo geomagnético.

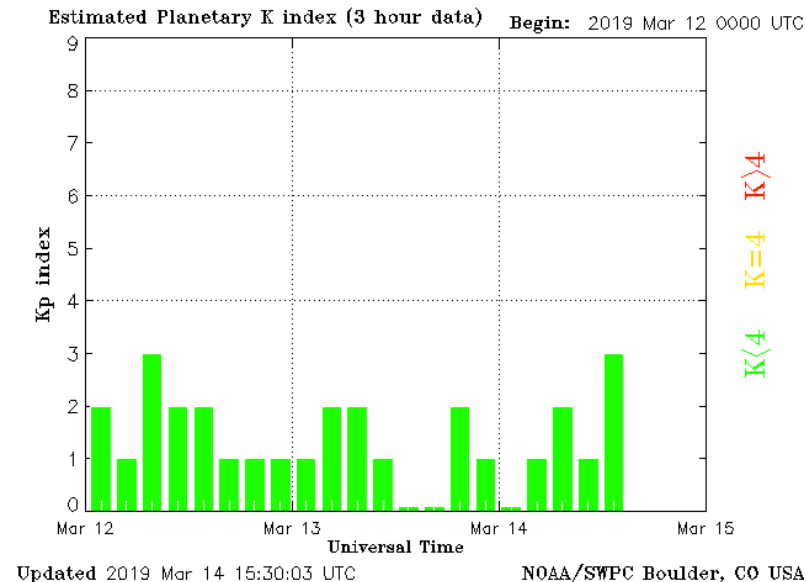


Color Code: ■ quiet, ■ disturbed, ■ storm, XXXX data not available.

TEO: Teoloyucan Geomagnetic Observatory (LAT 19.746, LON -99.193)

LANC/SCIESMEX - Morelia, Mich., MX

Updated: 2019/03/14-15:00 UTC



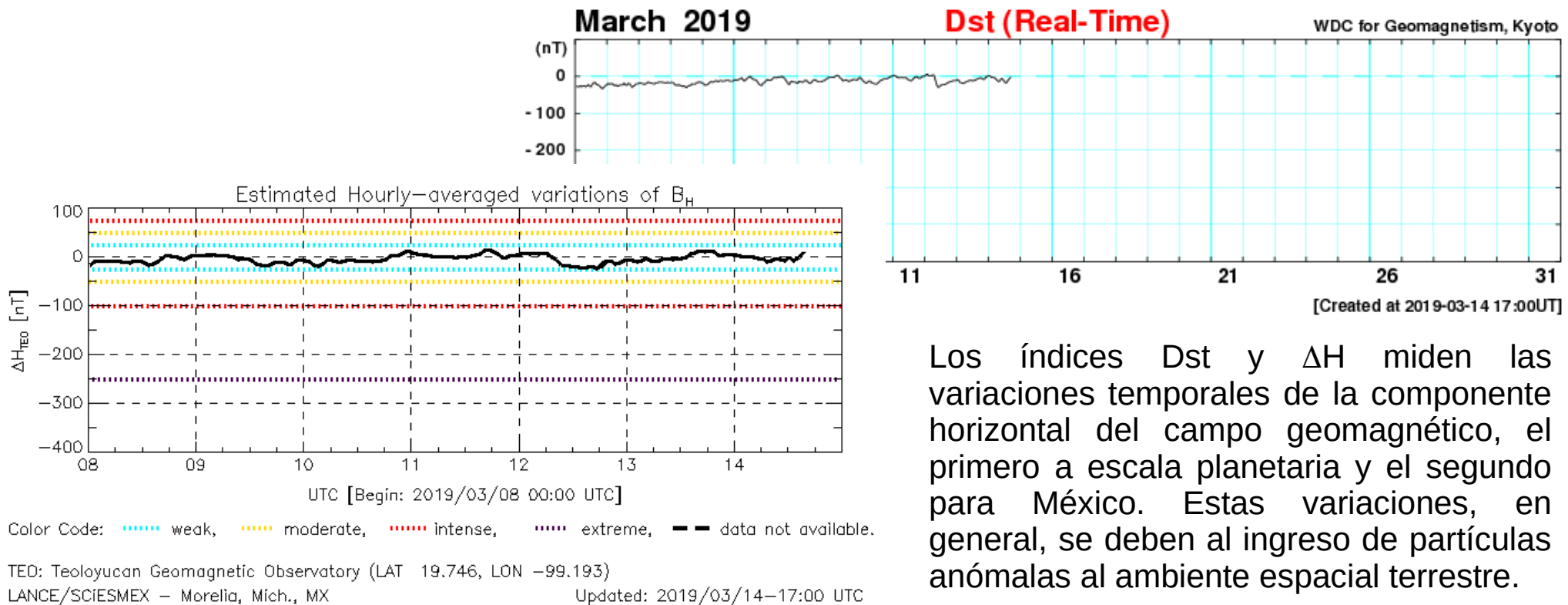
El índice K indica la intensidad de las variaciones del campo magnético terrestre en intervalos de 3 horas. El índice Kp lo expresa a escala planetaria, mientras que el Kmex lo hace para el territorio mexicano.

Perturbaciones geomagnéticas: Índice Dst y ΔH

En términos generales fue una semana quieta.

No se registraron alteraciones significativas en los índices ΔH y Dst.

Imagen: http://wdc.kugi.kyoto-u.ac.jp/dst_realtime/presentmonth/index.html



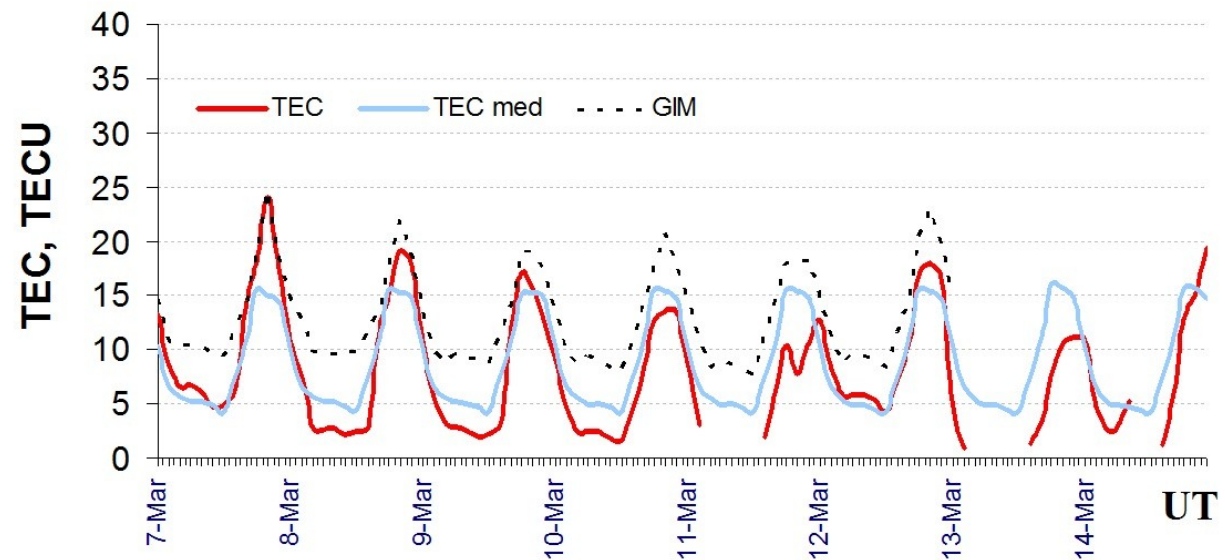
Los índices Dst y ΔH miden las variaciones temporales de la componente horizontal del campo geomagnético, el primero a escala planetaria y el segundo para México. Estas variaciones, en general, se deben al ingreso de partículas anómalas al ambiente espacial terrestre.

Ionósfera sobre México: TEC en el centro del país (datos)

El contenido total de electrones (TEC) es un parámetro que sirve para caracterizar el estado de la ionosfera de la Tierra.

Serie temporal de los valores de TEC (rojo) con referencia a su valor mediano (azul claro) durante 07-14.03.2019 con base en los datos de la estación local UCOE (TLALOCNet, UNAVCO) en las instalaciones del Mexart. Los datos globales de GIM (punteado).

Según los datos locales, se observaron los valores nocturnos muy bajos de TEC el 11 y 13-14 de marzo.

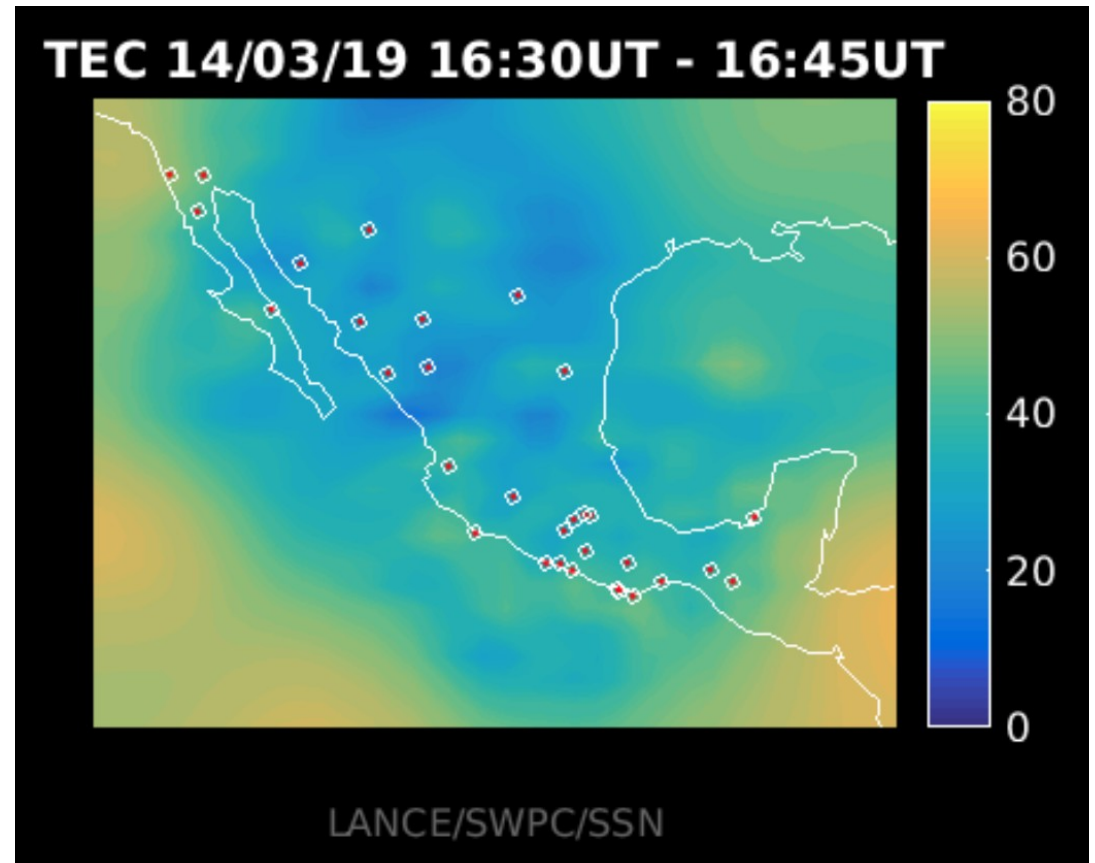


El cálculo se realiza en base de TayAbsTEC software del Instituto de Física Solar-Terrestre, Sección Siberiana de la Academia de Ciencias de Rusia. Referencia: Yasyukevich et al., Influence of GPS/GLONASS Differential Code Biases on the Determination Accuracy of the Absolute Total Electron Content in the Ionosphere, Geomagn. and Aeron., ISSN 0016_7932, 2015.

AzTEC: Mapas TEC Cercanos a Tiempo Real

Mapa TEC sobre México mostrando variaciones entre 0 y 80 TECU con una cadencia de 15 minutos y una frecuencia de muestreo de 1 Hz en la recepción de datos en los archivos utilizando la red de GPS del Servicio Sismológico Nacional y TlalocNET.

Mapa TEC del 14 de Marzo de 2019.

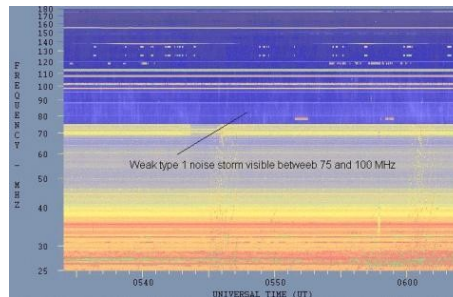


<http://www.rice.unam.mx:8080/aztec/>

Tipos de estallidos de radio solares

Tipo I: Estallidos cortos y banda de emisión estrecha. Ocurren en un gran número sobre un continuo de emisión. Duración de 1 s y en tormenta de horas a días.

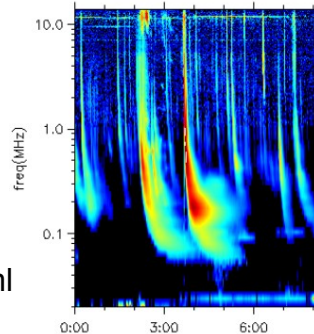
Se asocian con regiones activas, fulguraciones y protuberancias eruptivas



spaceacademy.net.au/env/sol/solradp/solradp.htm

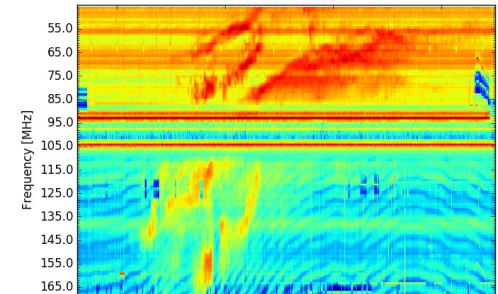
Tipo III: Estallidos de deriva rápida, con duración de pocos segundos en el rango métrico. Tienen anchos de emisión amplios. Son producidos en fulguraciones donde son expulsados a velocidades relativistas.

Se pueden presentar también como tormentas de estallidos.



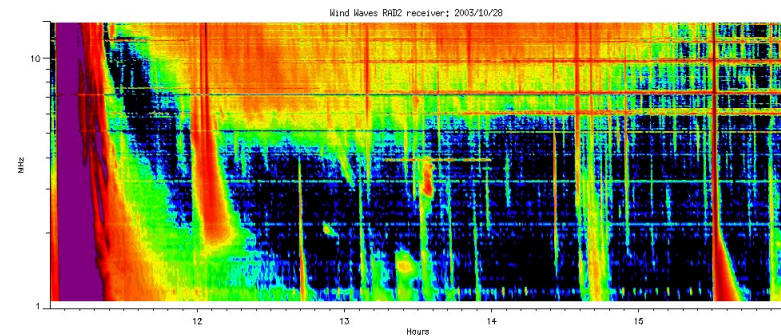
ssed.gsfc.nasa.gov/waves/data_products.html

Tipo II: Estallidos de deriva lenta. Son la firma de ondas de choque, producidas por fulguraciones o EMCs, que se propagan cerca del Sol y medio interplanetario. Presentan anchos de emisión estrechos que derivan a frecuencias menores.



www.rice.unam.mx/callisto

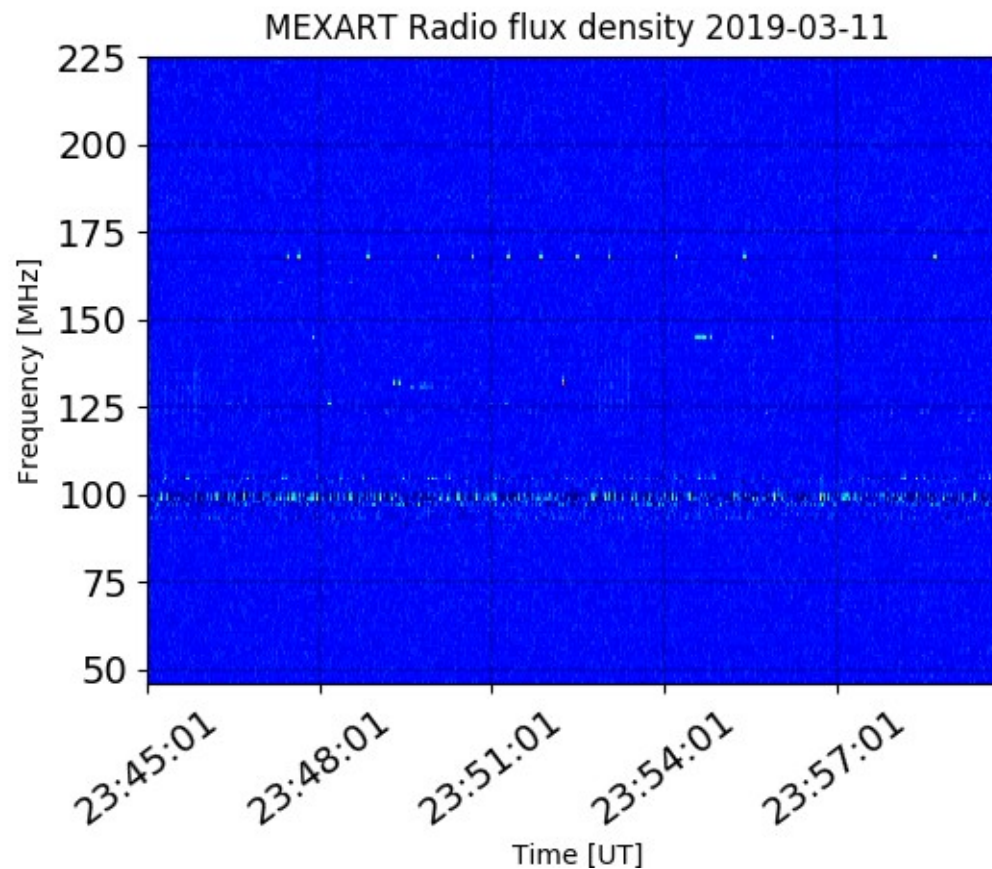
Tipo IV: Se relacionan con fulguraciones, tienen anchos de banda amplios y pueden durar horas.



https://ssed.gsfc.nasa.gov/waves/data_products.html

Estallidos de radio solares: Observaciones de Callisto-MEXART

Callisto-MEXART no detectó estallidos de radio solares esta semana.



- <http://www.rice.unam.mx/callisto/lightcurve/2019/03>

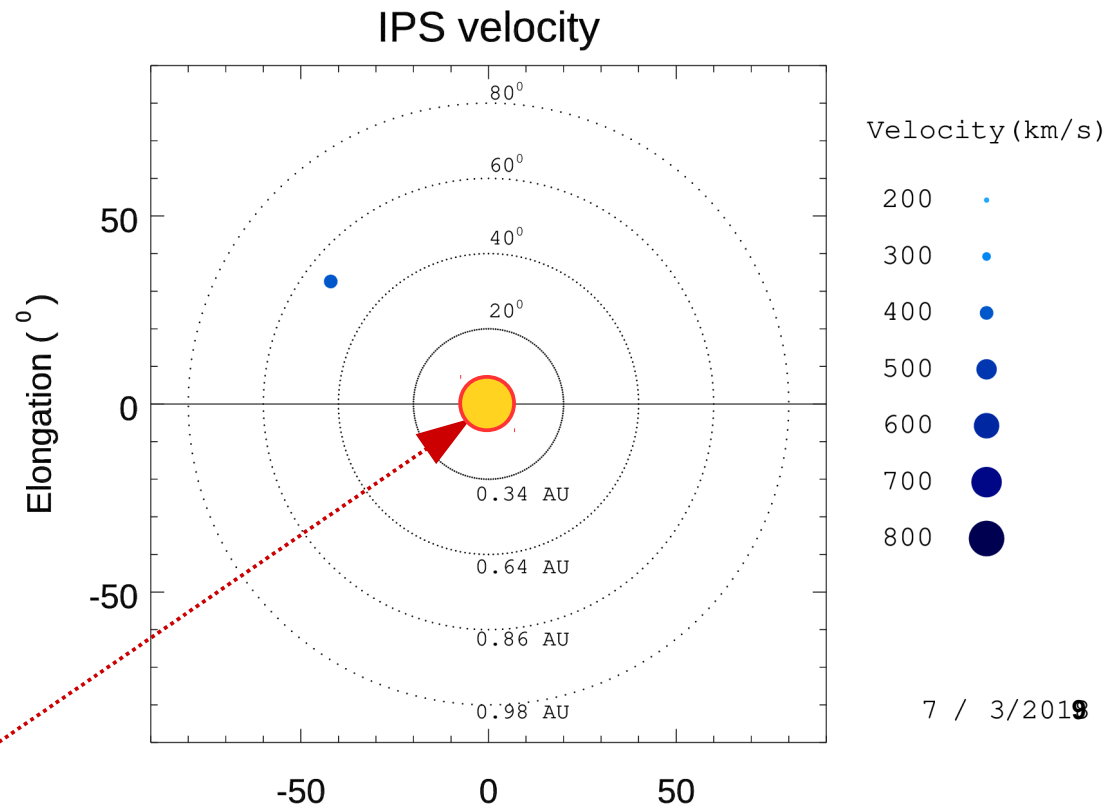
Mediciones de viento solar con MEXART: Centelleo interplanetario

Velocidades de 490 km/s el día 7 de marzo en zona noreste solar a 0.8 UA.

Fuentes de centelleo interplanetario registradas por el MEXART

La imagen muestra círculos azules correspondientes a fuentes de radio, estos objetos son núcleos de galaxias activas actualmente observadas por MEXART.

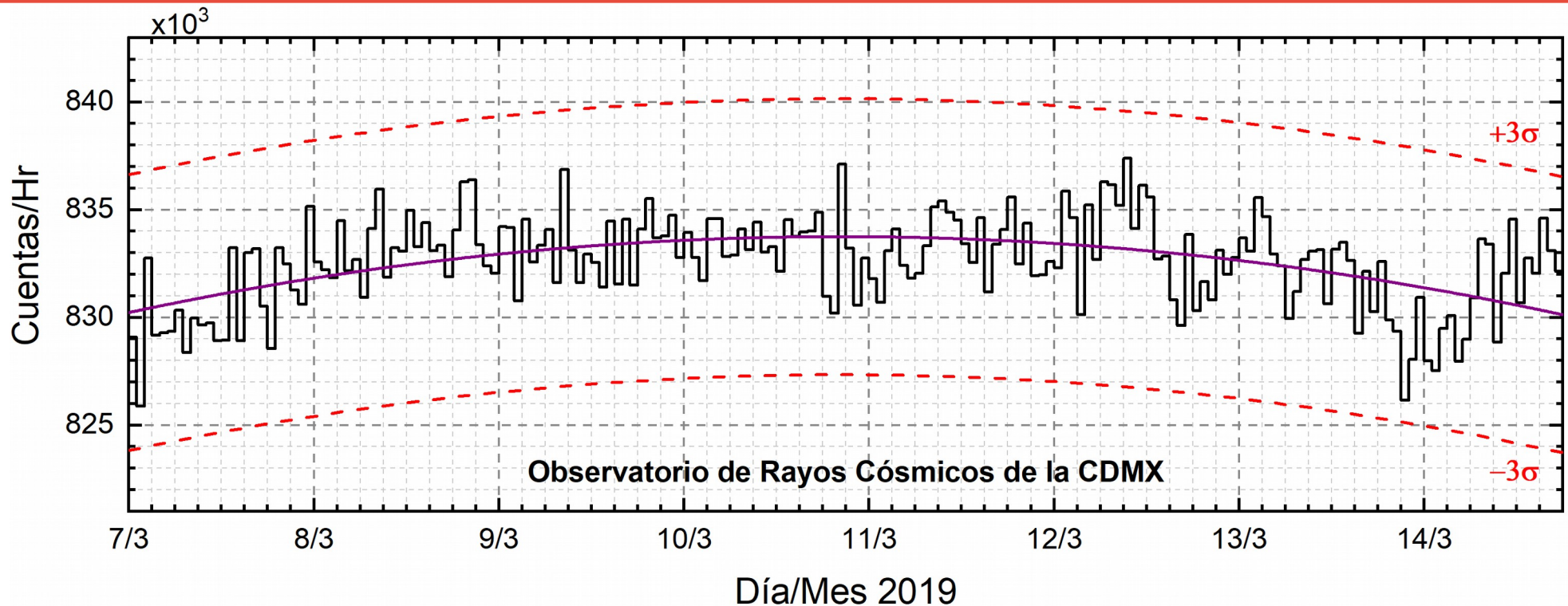
En la ubicación aparente de los objetos encontramos la velocidad del viento solar.



Sol visto por un observador en Tierra

www.mexart.unam.mx

Rayos Cósmicos:



<http://www.cosmicrays.unam.mx/>

Datos del Observatorio de Rayos Cósmicos de la Ciudad de México. La curva púrpura representa el promedio de los datos registrados, las líneas discontinuas rojas representan la significación de los datos (3σ). Cuando se registran variaciones mayores a 3σ , es probable que éstas sean debidas a efectos de emisiones solares en el flujo de rayos cósmicos.

Del 07 al 14 de marzo de 2019, no se detectaron incrementos significativos ($>3\sigma$) en las cuentas de rayos cósmicos galácticos.

UNAM/LANCE/SCIEMEX

Dr. J. Américo González Esparza

Dr. Pedro Corona Romero

Dra. Maria Sergeeva

Dr. Julio C. Mejía Ambriz

Dr. Luis Xavier González Méndez

Ing. Ernesto Andrade Mascote

M.C. Pablo Villanueva Hernández

Dr. Ernesto Aguilar-Rodríguez

Dra. Verónica Ontiveros

Dr. José Juan González-Aviles

Dra. Tania Oyuki Chang Martínez

Ing. Juan José D'Aquino

M.C. Enrique Cruz Martínez

UNAM ENES-Morelia

Dr. Mario Rodríguez Martínez

Dr. Víctor De la Luz Rodríguez

Lic. Aranza Fernández Álvarez del Castillo

UNAM/PCT

Lic. Elizandro Huipe

Lic. Francisco Tapia

Lic. Víctor Hugo Méndez Bedolla

M.C. Elsa Sánchez García

UANL/LANCE

Dr. Eduardo Pérez Tijerina

Dr. Enrique Pérez León

Dr. Carlos de Meneses Junior

Dra. Esmeralda Romero Hernández

UNAM/IGF/RAYOS CÓSMICOS

Dr. José Francisco Valdés Galicia

Fis. Alejandro Hurtado Pizano

Ing. Octavio Musalem Clemente

SERVICIO MAGNÉTICO

M.C. Esteban Hernández Quintero

M.C. Gerardo Cifuentes Nava

Dra. Ana Caccavari Garza

Elaboración: José Juan González-Avilés

Revisión: Ernesto Aguilar Rodríguez

Agradecimientos

El Laboratorio Nacional de Clima Espacial (LANCE) es parcialmente financiado por: el programa Cátedras CONACYT Proyecto 1045 y el Fondo Sectorial AEM-CONACYT proyecto 2014-01-247722. Agradecemos al proyecto Conacyt - Repositorio Institucional de Clima Espacial 268273. Agradecemos a todos los responsables y colaboradores de instrumentos del LANCE y a las redes de estaciones GPS del Servicio Sismológico Nacional y TalocNET por facilitar sus datos. Agradecemos a Gerardo Cifuentes, Esteban Hernández y Ana Caccavari por los datos del Observatorio magnético de Teoloyucan. De igual forma, agradecemos los servicios de IGS (International GNSS Service) por permitirnos usar los datos IONEX disponibles en: <ftp://cddis.gsfc.nasa.gov/pub/gps/products/ionex>. Los valores de TEC fueron obtenidos a partir de observaciones de las redes GPS del Servicio Sismológico Nacional (SSN), SSN-TLALOCNet y TLALOCNet del Servicio de Geodesia Satelital (SGS). Agradecemos al personal del SSN y del SGS por el mantenimiento de estaciones, la adquisición de datos y el soporte de IT de estas redes. Las operaciones de la red TLALOCNet y SSN-TLALOCNet GPS han sido apoyadas por The National Science Foundation bajo el proyecto EAR-1338091 a UNAVCO Inc., los proyectos CONACyT 253760 y 256012 y los proyectos UNAM-PAPIIT IN109315-3 y IN104818-3 de E. Cabral-Cano y el proyecto UNAM-PAPIIT IN111509 de R. Pérez. De igual forma agradecemos a los proyectos de infraestructura del CONACyT: 253691 y del PAPIIT-DGAPA: IA107116 para el fortalecimiento de equipos como la estación fija de GPS, que forman parte del LACIGE-UNAM, de la ENES unidad Morelia a cargo de M. Rodríguez-Martínez. El cálculo de TEC se realiza: 1) utilizando el software US-TEC que es un producto de operación del Space Weather Prediction Center (SWPC), desarrollado a través de una colaboración entre National Geodetic Survey, National Oceanic and Atmospheric Administration (NOAA) y el Cooperative Institute for Research in Environmental Sciences of the University of Boulder, Colorado, 2) con base en el software TayAbsTEC del Instituto de Física Solar-Terrestre, Sección Siberiana de la Academia de Ciencias Rusa. Parte del procesamiento de datos se lleva a cabo dentro del Centro de Supercómputo de Clima Espacial (CESCOM) del LANCE. Así mismo agradecemos al Space Weather Forecasting Center for Astrophysics & Space Research de la University of California in San Diego y al Korean Space Weather Center por los datos de pronóstico para los modelos WSA-ENLIL y los mapas tomográficos por IPS. Agradecemos a la red e-callisto por los datos proporcionados de espectros electromagnéticos dinámicos de la red internacional de registro de evento de radio solares.

Datos

Imágenes de coronógrafo, flujo de rayos X y modelo WSA-ENLIL:

<http://www.swpc.noaa.gov/products>

<http://iswa.ccmc.gsfc.nasa.gov/IswaSystemWebApp/>

Imágenes de coronógrafo:

<http://sohowww.nascom.nasa.gov/data/>

Imágenes del disco solar y de la fulguración:

<http://www.solarmonitor.org/>

Detección y caracterización de EMCs:

<http://www.sidc.oma.be/cactus/out/latestCMEs.html>

<http://spaceweather.gmu.edu/seeds/>

ISES:

<http://www.spaceweather.org/>

International Network of Solar Radio Spectrometers (e-callisto):

<http://www.e-callisto.org/>

German Research Center For Geosciences Postdam:

<http://www.gfz-potsdam.de/en/sektion/erdmagnetfeld/daten-dienste/kp-index/>

Data Analysis Center for Geomagnetism and Space Magnetism, Kyoto University:

<http://wdc.kugi.kyoto-u.ac.jp/index.html>

UNAVCO:

<http://www.unavco.org>

SSN:

<http://www.sismologico.unam.mx/>

SOHO Spacecraft NASA:

<http://sohowww.nascom.nasa.gov/>

SDO Spacecraft NASA:

<http://sdo.gsfc.nasa.gov/>

Space Weather Prediction Center NOAA:

<http://www.swpc.noaa.gov>

GOES Spacecraft NOAA:

<http://www.ngdc.noaa.gov/stp/satellite/goes/index.html>

ACE Spacecraft NOAA

<http://www.srl.caltech.edu/ACE/ASC/index.html>